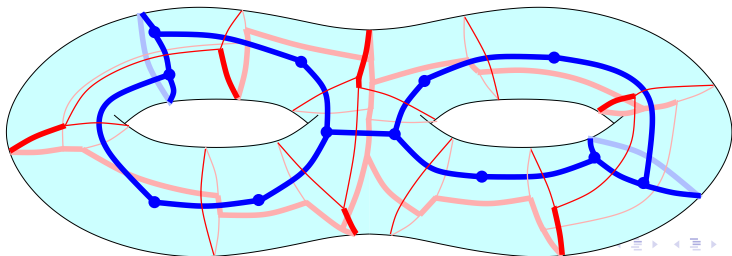


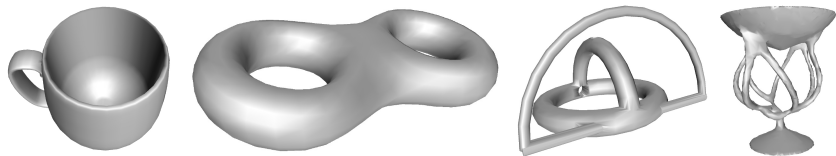
Algorithmes topologiques pour les graphes tracés sur des surfaces

Éric Colin de Verdière

École normale supérieure (Paris) et CNRS

Journées de l'ANR EGOS, 29 octobre 2013

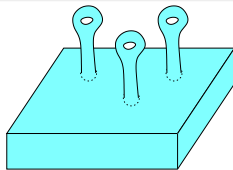
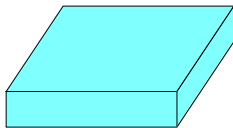


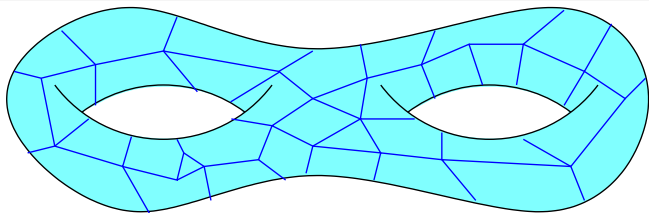


Qu'est-ce qu'une surface ?

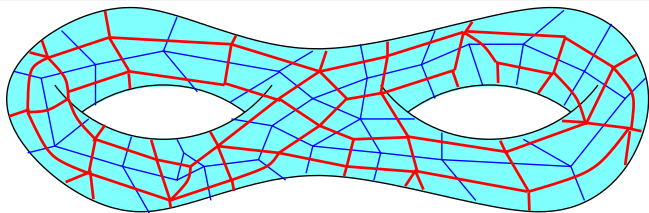
À homéomorphisme près, \mathcal{S} est une sphère à laquelle on a collé $g \geq 0$ poignées.

g est le **genre** de \mathcal{S} .

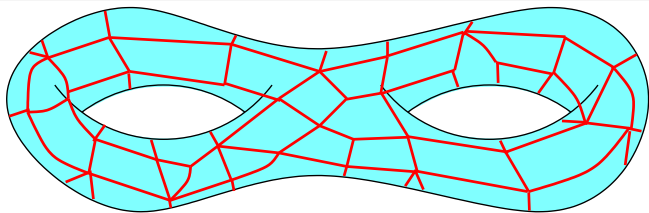




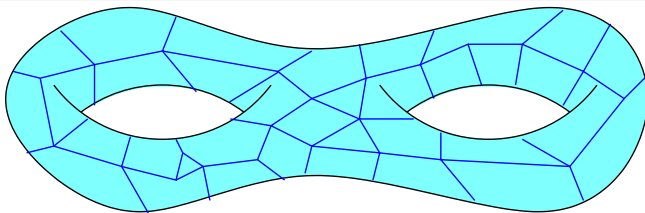
- $G = (V, E)$: graphe plongé sur \mathcal{S} , éventuellement à boucles et arêtes multiples.
- F : ensemble des faces de G : topologiquement, des **disques ouverts**.
- On supposera souvent les arêtes **pondérées**, à poids > 0 .
- Graphe **dual** G^* .
- **Structure de données** : Graphe avec ordre cyclique des arêtes incidentes à chaque sommet.
- **Courbes** : *walks* dans G , éventuellement avec répétition de sommets ou d'arêtes.



- $G = (V, E)$: graphe plongé sur \mathcal{S} , éventuellement à boucles et arêtes multiples.
- F : ensemble des faces de G : topologiquement, des **disques ouverts**.
- On supposera souvent les arêtes **pondérées**, à poids > 0 .
- Graphe **dual** G^* .
- **Structure de données** : Graphe avec ordre cyclique des arêtes incidentes à chaque sommet.
- **Courbes** : *walks* dans G , éventuellement avec répétition de sommets ou d'arêtes.



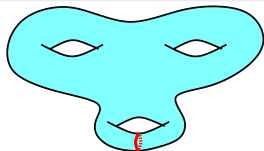
- $G = (V, E)$: graphe plongé sur \mathcal{S} , éventuellement à boucles et arêtes multiples.
- F : ensemble des faces de G : topologiquement, des **disques ouverts**.
- On supposera souvent les arêtes **pondérées**, à poids > 0 .
- Graphe **dual** G^* .
- **Structure de données** : Graphe avec ordre cyclique des arêtes incidentes à chaque sommet.
- **Courbes** : *walks* dans G , éventuellement avec répétition de sommets ou d'arêtes.



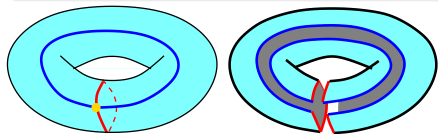
- $G = (V, E)$: graphe plongé sur \mathcal{S} , éventuellement à boucles et arêtes multiples.
- F : ensemble des faces de G : topologiquement, des **disques ouverts**.
- On supposera souvent les arêtes **pondérées**, à poids > 0 .
- Graphe **dual** G^* .
- **Structure de données** : Graphe avec ordre cyclique des arêtes incidentes à chaque sommet.
- **Courbes** : *walks* dans G , éventuellement avec répétition de sommets ou d'arêtes.

(a) Algorithmes efficaces pour...

① Trouver le plus court chemin fermé dans le graphe qui forme une courbe « non triviale » sur la surface ;

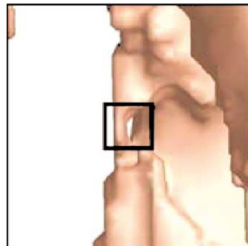
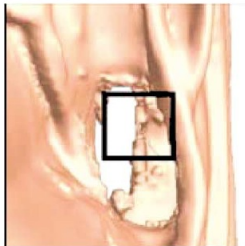


② Trouver un sous-graphe, le plus court possible, le long duquel découper la surface pour la rendre plane.



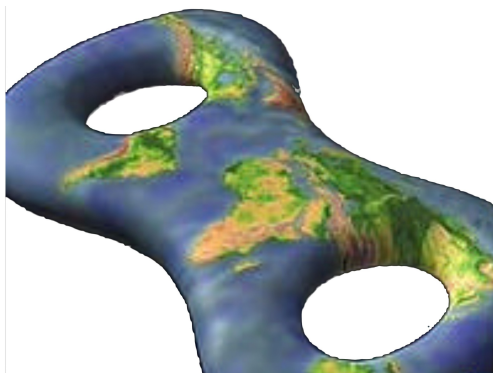
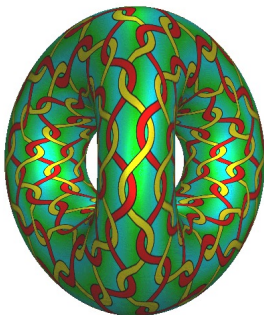
(b) Bornes pour la longueur de telles sous-structures optimales.

- 1 Simplification topologique, remaillage, approximation ;
- 2 paramétrage : plaquage de textures, compression, analyse numérique.



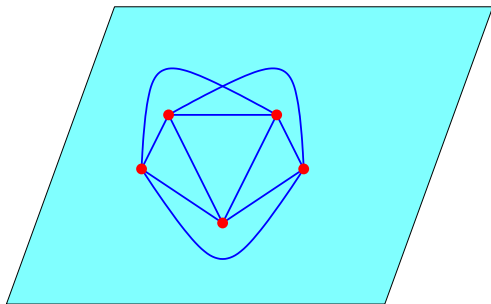
[Wood et coll., 2004]

- 1 Simplification topologique, remaillage, approximation ;
- 2 paramétrage : plaquage de textures, compression, analyse numérique.



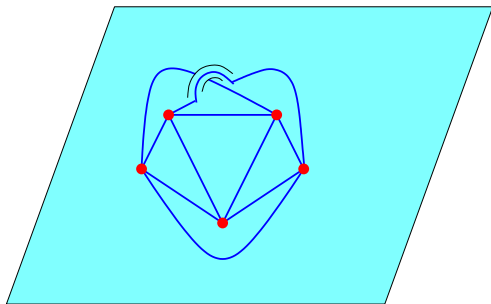
[http://www.cs.berkeley.edu/~sequin/
CS184/IMGS/mvs.g2.D3.gif](http://www.cs.berkeley.edu/~sequin/CS184/IMGS/mvs.g2.D3.gif)

Généralisation naturelle
des graphes planaires :
tout graphe se plonge
sur une surface.



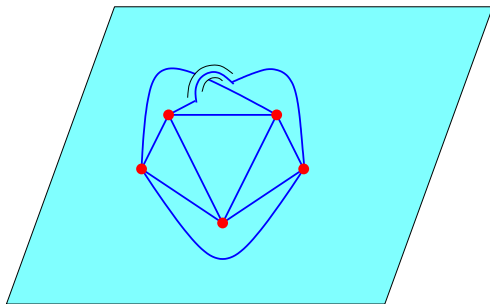
- Plongéabilité d'un graphe sur une surface [Mohar, 1996...];
- *crossing number* d'un graphe dans le plan [Kawarabayashi et Reed, 2007];
- test d'homotopie (existence de déformation) entre courbes [Dey et Guha, 1999; Lazarus et Rivaud, 2012; Erickson et Whittlesey, 2012];
- raccourcissement de courbes à homotopie près [CdV, Lazarus, 2002, 2003]; [CdV, Erickson, 2006].

Généralisation naturelle
des graphes planaires :
tout graphe se plonge
sur une surface.



- Plongeabilité d'un graphe sur une surface [Mohar, 1996...];
- *crossing number* d'un graphe dans le plan [Kawarabayashi et Reed, 2007];
- test d'homotopie (existence de déformation) entre courbes [Dey et Guha, 1999; Lazarus et Rivaud, 2012; Erickson et Whittlesey, 2012];
- raccourcissement de courbes à homotopie près [CdV, Lazarus, 2002, 2003]; [CdV, Erickson, 2006].

Généralisation naturelle
des graphes planaires :
tout graphe se plonge
sur une surface.

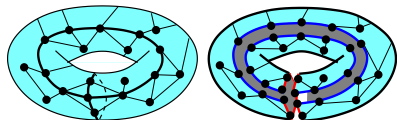
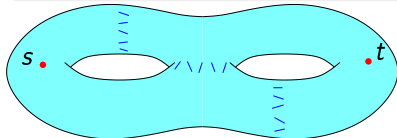


- Plongéabilité d'un graphe sur une surface [Mohar, 1996...];
- *crossing number* d'un graphe dans le plan [Kawarabayashi et Reed, 2007];
- test d'homotopie (existence de déformation) entre courbes [Dey et Guha, 1999; Lazarus et Rivaud, 2012; Erickson et Whittlesey, 2012];
- raccourcissement de courbes à homotopie près [CdV, Lazarus, 2002, 2003]; [CdV, Erickson, 2006].

Idée générale

- Prendre n'importe quel problème d'algorithmique des graphes ;
- l'étudier dans le cas spécifique des graphes plongés sur une surface.

Exemple : Coupe minimale



aussi : flots maximaux, cycles induits, isomorphismes de graphes, ...

technique : **planarisation** (et/ou Robertson–Seymour, bidimensionnalité, ...)

1. Plus courte courbe non contractile

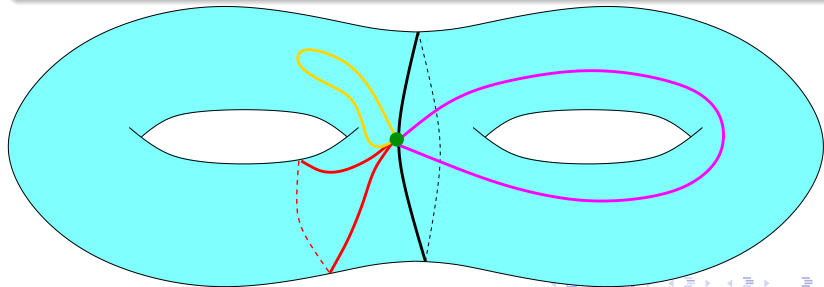
Définitions

- Un **lacet** est une application continue $\ell : [0, 1] \rightarrow \mathcal{S}$ avec $\ell(0) = \ell(1)$ (le **point-base**);
- ℓ est **contractile** si ℓ peut être déformé continûment en un lacet constant.

Problème

Comment calculer un plus court lacet non contractile ?

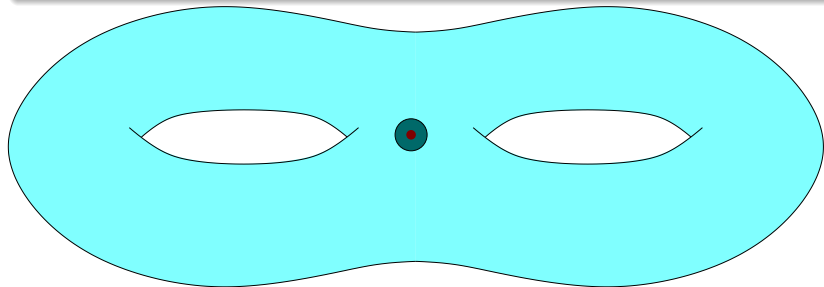
Pour l'instant, cherchons un plus court lacet non contractile à point-base b fixé.



Cut locus

Construction

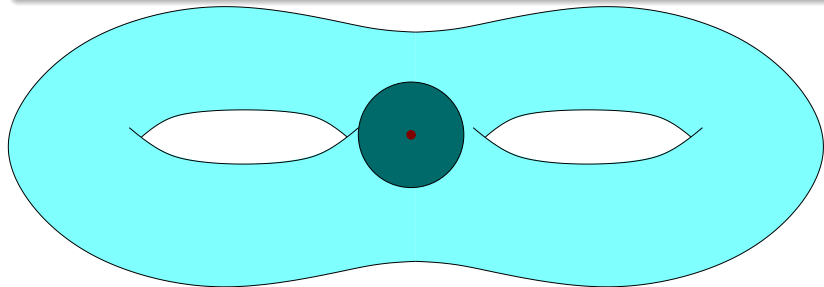
- Soit $b \in V$; soit T l'ensemble des arêtes d'un arbre de plus courts chemins dans G basé en b .
- Le **cut locus** de \mathcal{S} par rapport à b est $C = E^* \setminus T^*$.
- C est un **graphe de découpe** : $\mathcal{S} \setminus C$ est (homéomorphe à) un disque ouvert.



Cut locus

Construction

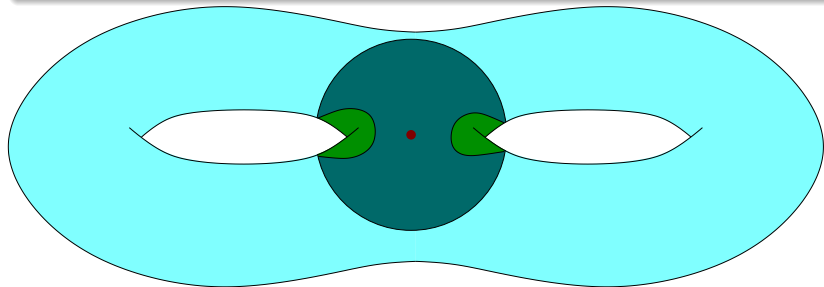
- Soit $b \in V$; soit T l'ensemble des arêtes d'un arbre de plus courts chemins dans G basé en b .
- Le **cut locus** de \mathcal{S} par rapport à b est $C = E^* \setminus T^*$.
- C est un **graphe de découpe** : $\mathcal{S} \setminus C$ est (homéomorphe à) un disque ouvert.



Cut locus

Construction

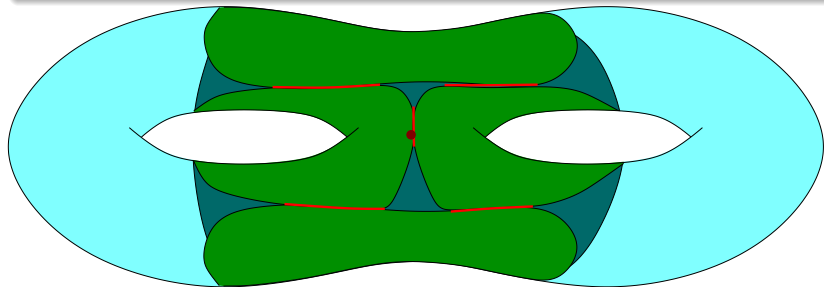
- Soit $b \in V$; soit T l'ensemble des arêtes d'un arbre de plus courts chemins dans G basé en b .
- Le **cut locus** de \mathcal{S} par rapport à b est $C = E^* \setminus T^*$.
- C est un **graphe de découpe** : $\mathcal{S} \setminus C$ est (homéomorphe à) un disque ouvert.



Cut locus

Construction

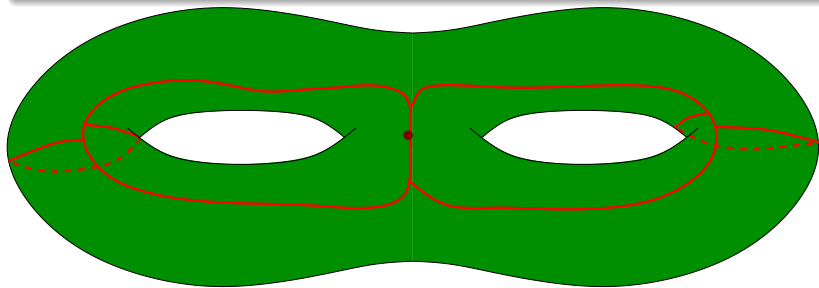
- Soit $b \in V$; soit T l'ensemble des arêtes d'un arbre de plus courts chemins dans G basé en b .
- Le **cut locus** de \mathcal{S} par rapport à b est $C = E^* \setminus T^*$.
- C est un **graphe de découpe** : $\mathcal{S} \setminus C$ est (homéomorphe à) un disque ouvert.



Cut locus

Construction

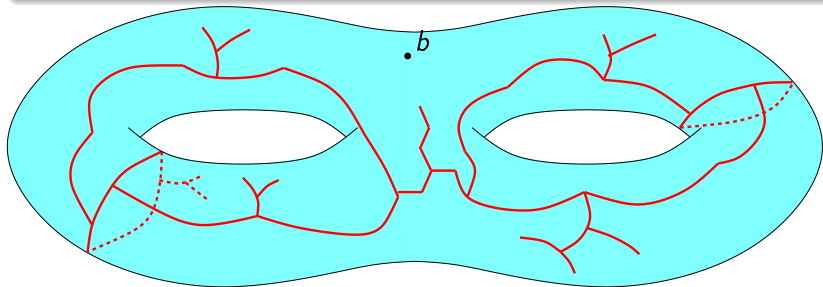
- Soit $b \in V$; soit T l'ensemble des arêtes d'un arbre de plus courts chemins dans G basé en b .
- Le **cut locus** de \mathcal{S} par rapport à b est $C = E^* \setminus T^*$.
- C est un **graphe de découpe** : $\mathcal{S} \setminus C$ est (homéomorphe à) un disque ouvert.



Cut locus

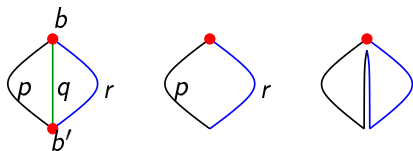
Construction

- Soit $b \in V$; soit T l'ensemble des arêtes d'un arbre de plus courts chemins dans G basé en b .
- Le **cut locus** de \mathcal{S} par rapport à b est $C = E^* \setminus T^*$.
- C est un **graphe de découpe** : $\mathcal{S} \setminus C$ est (homéomorphe à) un disque ouvert.



Croisements du plus court lacet avec le cut locus

Si p , q et r sont des chemins de b à b' , alors : $p \cdot \bar{q}$ et $q \cdot \bar{r}$ contractiles $\Rightarrow p \cdot \bar{r}$ contractile.

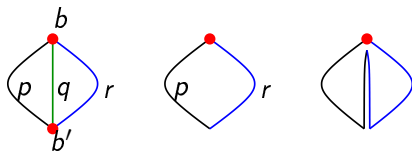


Soit ℓ un plus court lacet non contractile.

- ℓ croise le cut locus au moins une fois ;
- si ℓ croise le cut locus au moins deux fois, il y a un lacet non contractile qui est plus court ; contradiction !

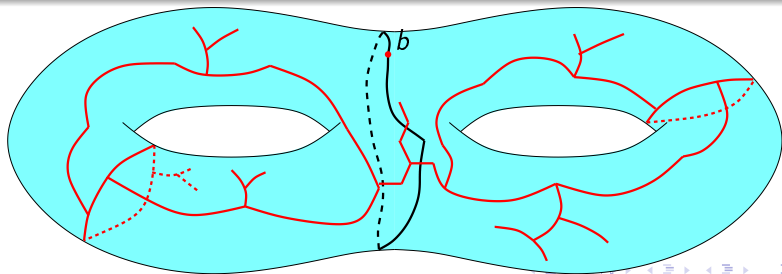
Croisements du plus court lacet avec le cut locus

Si p , q et r sont des chemins de b à b' , alors : $p \cdot \bar{q}$ et $q \cdot \bar{r}$ contractiles $\Rightarrow p \cdot \bar{r}$ contractile.



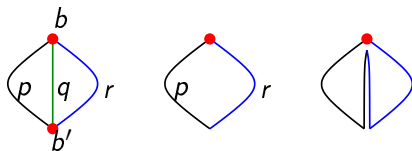
Soit ℓ un plus court lacet non contractile.

- ℓ croise le cut locus au moins une fois ;
- si ℓ croise le cut locus au moins deux fois, il y a un lacet non contractile qui est plus court ; contradiction !



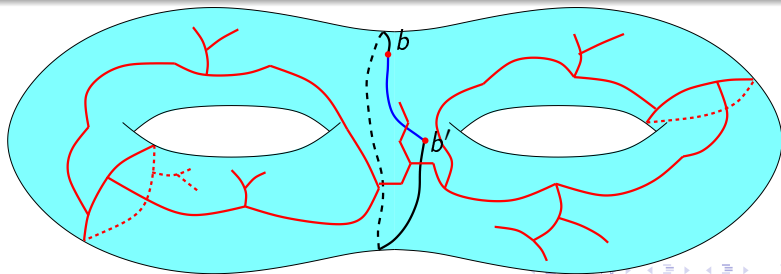
Croisements du plus court lacet avec le cut locus

Si p , q et r sont des chemins de b à b' , alors : $p \cdot \bar{q}$ et $q \cdot \bar{r}$ contractiles $\Rightarrow p \cdot \bar{r}$ contractile.



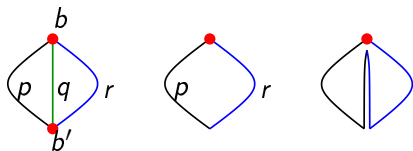
Soit ℓ un plus court lacet non contractile.

- ℓ croise le cut locus au moins une fois ;
- si ℓ croise le cut locus au moins deux fois, il y a un lacet non contractile qui est plus court ; contradiction !



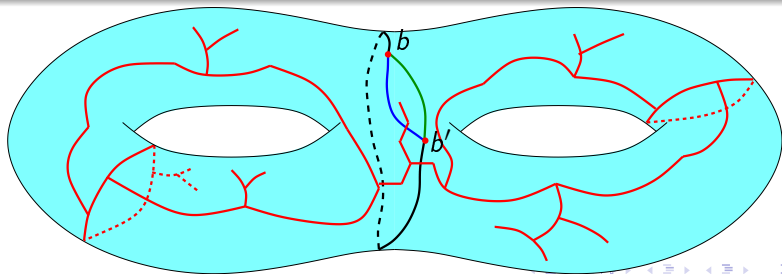
Croisements du plus court lacet avec le cut locus

Si p , q et r sont des chemins de b à b' , alors : $p \cdot \bar{q}$ et $q \cdot \bar{r}$ contractiles $\Rightarrow p \cdot \bar{r}$ contractile.

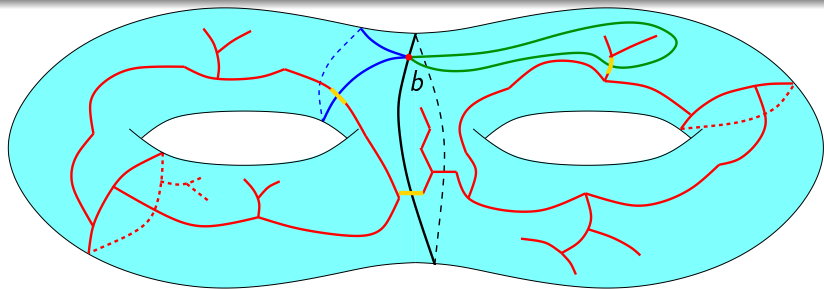


Soit ℓ un plus court lacet non contractile.

- ℓ croise le cut locus au moins une fois ;
- si ℓ croise le cut locus au moins deux fois, il y a un lacet non contractile qui est plus court ; contradiction !



Lacets croisant le cut locus exactement une fois



Définition

Si e est une arête de C , soit e^\perp un lacet qui suit un plus court chemin partant de b , croise e et revient sur b par un plus court chemin.

Un plus court lacet non contractile est de la forme e^\perp .

Lemme

e^\perp est contractile ssi e sépare C en deux morceaux, l'un d'entre eux étant un arbre.

Algorithme pour calculer un plus court lacet non contractile

Soit n la complexité de G .

- Pour chaque arête e de C , calculer la longueur de e^\perp

→ arbre de plus courts chemins dans G : Dijkstra, $O(n \log n)$;

- supprimer de C les arêtes de C qui déconnectent C en deux morceaux, l'un d'entre eux étant un arbre

→ complexité $O(n)$ (élagage);

- retourner e^\perp , avec $e \in C$ non supprimé et e^\perp de longueur minimale

→ complexité $O(n)$.

Algorithme pour calculer un plus court lacet non contractile

Soit n la complexité de G .

- Pour chaque arête e de C , calculer la longueur de e^\perp

→ arbre de plus courts chemins dans G : Dijkstra, $O(n \log n)$;

- supprimer de C les arêtes de C qui déconnectent C en deux morceaux, l'un d'entre eux étant un arbre

→ complexité $O(n)$ (élagage);

- retourner e^\perp , avec $e \in C$ non supprimé et e^\perp de longueur minimale

→ complexité $O(n)$.

Algorithme pour calculer un plus court lacet non contractile

Soit n la complexité de G .

- Pour chaque arête e de C , calculer la longueur de e^\perp

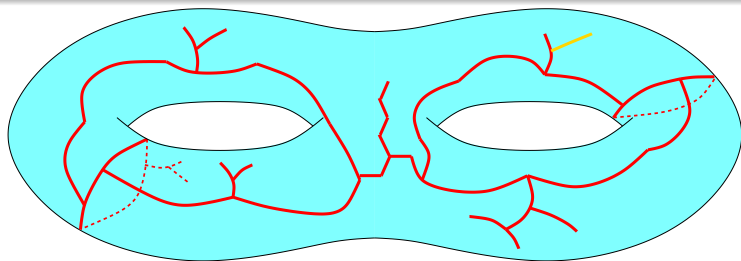
→ arbre de plus courts chemins dans G : Dijkstra, $O(n \log n)$;

- supprimer de C les arêtes de C qui déconnectent C en deux morceaux, l'un d'entre eux étant un arbre

→ complexité $O(n)$ (élagage);

- retourner e^\perp , avec $e \in C$ non supprimé et e^\perp de longueur minimale

→ complexité $O(n)$.



Algorithme pour calculer un plus court lacet non contractile

Soit n la complexité de G .

- Pour chaque arête e de C , calculer la longueur de e^\perp

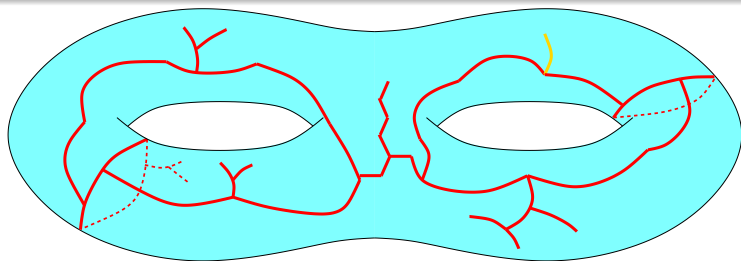
→ arbre de plus courts chemins dans G : Dijkstra, $O(n \log n)$;

- supprimer de C les arêtes de C qui déconnectent C en deux morceaux, l'un d'entre eux étant un arbre

→ complexité $O(n)$ (élagage);

- retourner e^\perp , avec $e \in C$ non supprimé et e^\perp de longueur minimale

→ complexité $O(n)$.



Algorithme pour calculer un plus court lacet non contractile

Soit n la complexité de G .

- Pour chaque arête e de C , calculer la longueur de e^\perp

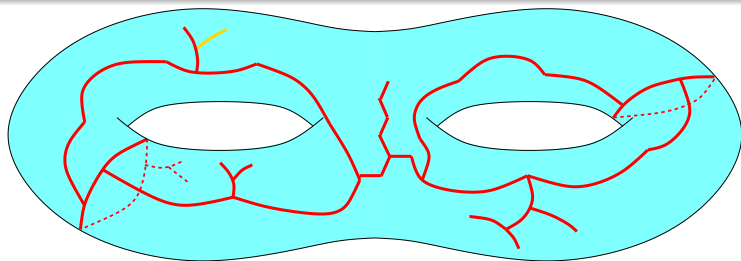
→ arbre de plus courts chemins dans G : Dijkstra, $O(n \log n)$;

- supprimer de C les arêtes de C qui déconnectent C en deux morceaux, l'un d'entre eux étant un arbre

→ complexité $O(n)$ (élagage);

- retourner e^\perp , avec $e \in C$ non supprimé et e^\perp de longueur minimale

→ complexité $O(n)$.



Algorithme pour calculer un plus court lacet non contractile

Soit n la complexité de G .

- Pour chaque arête e de C , calculer la longueur de e^\perp

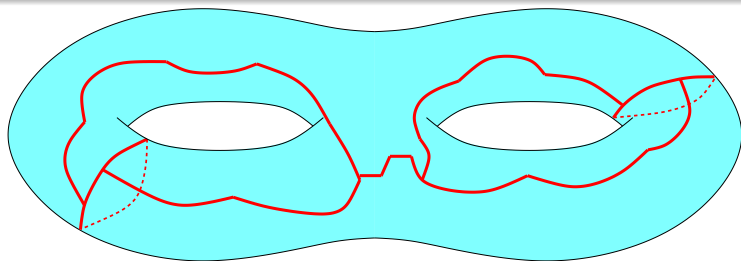
→ arbre de plus courts chemins dans G : Dijkstra, $O(n \log n)$;

- supprimer de C les arêtes de C qui déconnectent C en deux morceaux, l'un d'entre eux étant un arbre

→ complexité $O(n)$ (élagage);

- retourner e^\perp , avec $e \in C$ non supprimé et e^\perp de longueur minimale

→ complexité $O(n)$.



Algorithme pour calculer un plus court lacet non contractile

Soit n la complexité de G .

- Pour chaque arête e de C , calculer la longueur de e^\perp

→ arbre de plus courts chemins dans G : Dijkstra, $O(n \log n)$;

- supprimer de C les arêtes de C qui déconnectent C en deux morceaux, l'un d'entre eux étant un arbre

→ complexité $O(n)$ (élagage);

- retourner e^\perp , avec $e \in C$ non supprimé et e^\perp de longueur minimale

→ complexité $O(n)$.

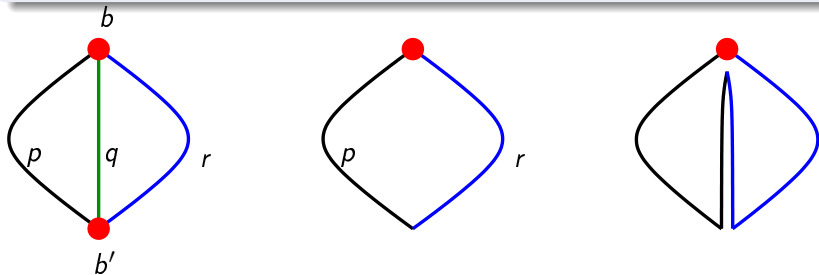
Résultat

- Plus court lacet non contractile avec point-base b : complexité $O(n \log n)$ [Erickson et Har-Peled, 2004].
- Sans fixer le point-base : $O(n^2 \log n)$ en appliquant l'algorithme précédent $O(n)$ fois, plaçant b sur chaque sommet de G .
- Finalement : circuit dans G .

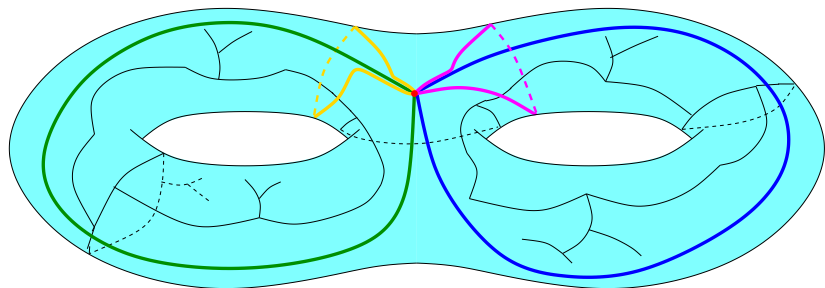
Plus court lacet non séparateur

- Un lacet simple est contractile ssi il borde un disque.
- Un lacet simple est homotopiquement trivial ssi il est séparateur.

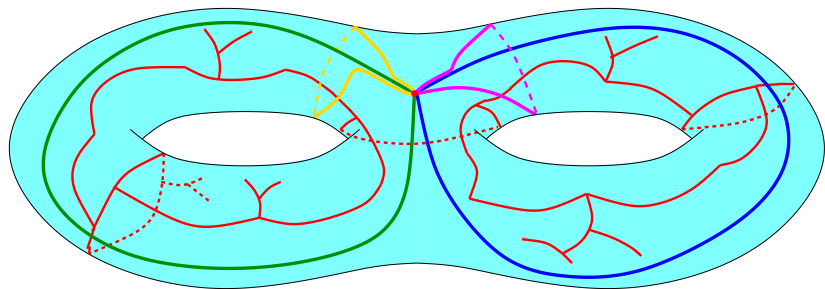
Si p , q et r sont des chemins de b à b' , alors : $p \cdot \bar{q}$ et $q \cdot \bar{r}$ homotopiquement trivial $\Rightarrow p \cdot \bar{r}$ homotopiquement trivial.



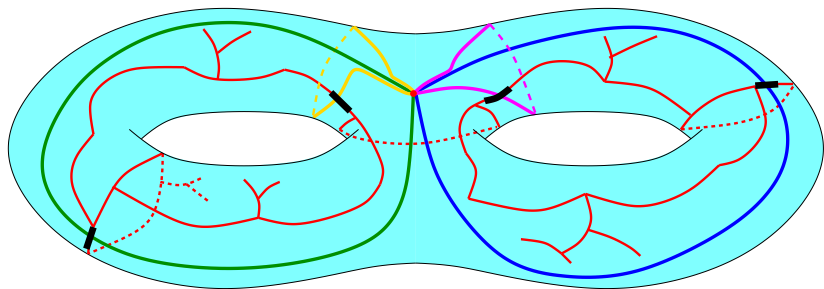
2. Graphe de découpe court



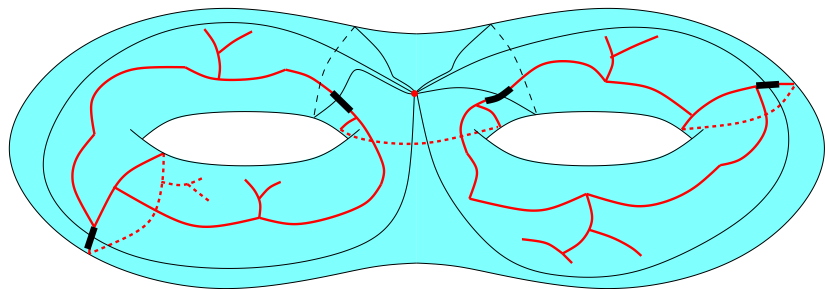
- A^\perp est un graphe de découpe ssi $C \setminus A$ est un arbre couvrant de C ;
- Soit U un arbre couvrant *maximal* de C , où le poids d'une arête e est la longueur de e^\perp . Retourner $\{e^\perp \mid e \notin U\}$.
- Temps $O(n \log n + gn)$ car il y a $2g$ lacets.



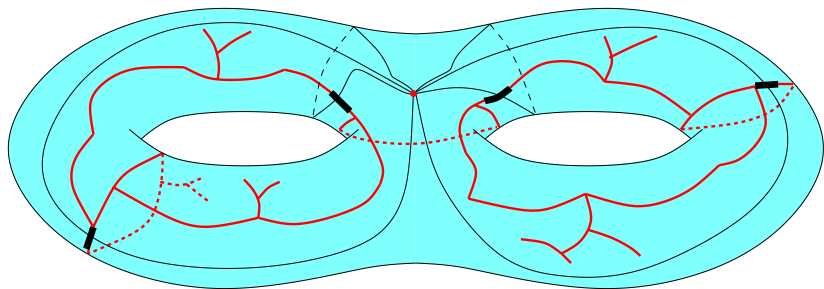
- A^\perp est un graphe de découpe ssi $C \setminus A$ est un arbre couvrant de C ;
- Soit U un arbre couvrant *maximal* de C , où le poids d'une arête e est la longueur de e^\perp . Retourner $\{e^\perp \mid e \notin U\}$.
- Temps $O(n \log n + gn)$ car il y a $2g$ lacets.



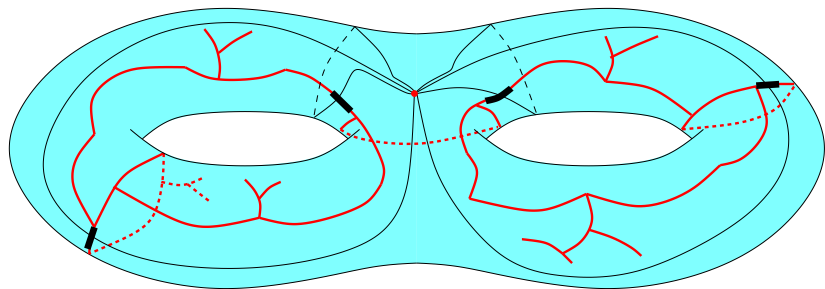
- A^\perp est un graphe de découpe ssi $C \setminus A$ est un arbre couvrant de C ;
- Soit U un arbre couvrant *maximal* de C , où le poids d'une arête e est la longueur de e^\perp . Retourner $\{e^\perp \mid e \notin U\}$.
- Temps $O(n \log n + gn)$ car il y a $2g$ lacets.



- A^\perp est un graphe de découpe ssi $C \setminus A$ est un arbre couvrant de C ;
- Soit U un arbre couvrant maximal de C , où le poids d'une arête e est la longueur de e^\perp . Retourner $\{e^\perp \mid e \notin U\}$.
- Temps $O(n \log n + gn)$ car il y a $2g$ lacets.



- A^\perp est un graphe de découpe ssi $C \setminus A$ est un arbre couvrant de C ;
- Soit U un arbre couvrant *maximal* de C , où le poids d'une arête e est la longueur de e^\perp . Retourner $\{e^\perp \mid e \notin U\}$.
- Temps $O(n \log n + gn)$ car il y a $2g$ lacets.

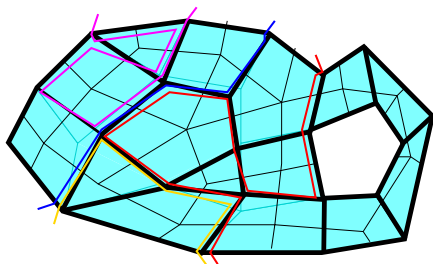


- A^\perp est un graphe de découpe ssi $C \setminus A$ est un arbre couvrant de C ;
- Soit U un arbre couvrant *maximal* de C , où le poids d'une arête e est la longueur de e^\perp . Retourner $\{e^\perp \mid e \notin U\}$.
- Temps $O(n \log n + gn)$ car il y a $2g$ lacets.

Aparté : il est optimal !

Les lacets A^\perp ne sont pas nécessairement disjoints, ni simples.

Cadre topologique dual :
surface à métrique des croisements.



Trouver le plus court graphe de découpe

NP-dur ! [Erickson et Har-Peled, 2004]

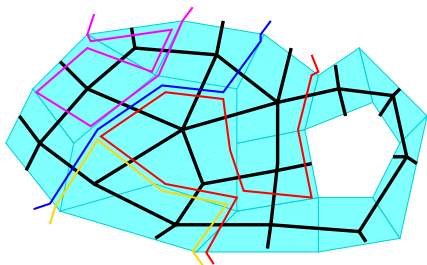
Théorème ([CdV, 2010], étendant [Erickson et Whittlesey, 2006])

Soit P un ensemble de points sur une surface à métrique des croisements \mathcal{S} . On peut calculer le plus court graphe de découpe dont l'ensemble des sommets est exactement P en temps $O(n \log n + gn + |P|)$.

Aparté : il est optimal !

Les lacets A^\perp ne sont pas nécessairement disjoints, ni simples.

Cadre topologique dual :
surface à métrique des croisements.



Trouver le plus court graphe de découpe

NP-dur ! [Erickson et Har-Peled, 2004]

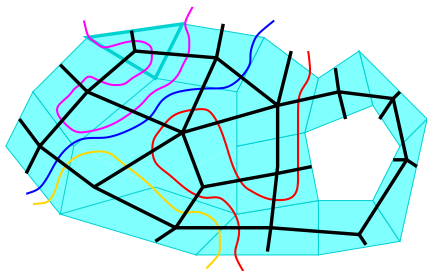
Théorème ([CdV, 2010], étendant [Erickson et Whittlesey, 2006])

Soit P un ensemble de points sur une surface à métrique des croisements \mathcal{S} . On peut calculer le plus court graphe de découpe dont l'ensemble des sommets est exactement P en temps $O(n \log n + gn + |P|)$.

Aparté : il est optimal !

Les lacets A^\perp ne sont pas nécessairement disjoints, ni simples.

Cadre topologique dual :
surface à métrique des croisements.



Trouver le plus court graphe de découpe

NP-dur ! [Erickson et Har-Peled, 2004]

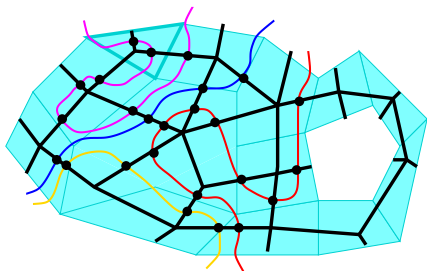
Théorème ([CdV, 2010], étendant [Erickson et Whittlesey, 2006])

Soit P un ensemble de points sur une surface à métrique des croisements \mathcal{S} . On peut calculer le plus court graphe de découpe dont l'ensemble des sommets est exactement P en temps $O(n \log n + gn + |P|)$.

Aparté : il est optimal !

Les lacets A^\perp ne sont pas nécessairement disjoints, ni simples.

Cadre topologique dual :
surface à métrique des croisements.



Trouver le plus court graphe de découpe

NP-dur ! [Erickson et Har-Peled, 2004]

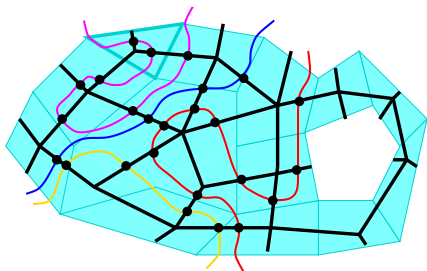
Théorème ([CdV, 2010], étendant [Erickson et Whittlesey, 2006])

Soit P un ensemble de points sur une surface à métrique des croisements \mathcal{S} . On peut calculer le plus court graphe de découpe dont l'ensemble des sommets est exactement P en temps $O(n \log n + gn + |P|)$.

Aparté : il est optimal !

Les lacets A^\perp ne sont pas nécessairement disjoints, ni simples.

Cadre topologique dual :
surface à métrique des croisements.



Trouver le plus court graphe de découpe

NP-dur! [Erickson et Har-Peled, 2004]

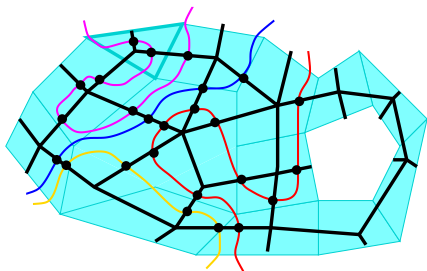
Théorème ([CdV, 2010], étendant [Erickson et Whittlesey, 2006])

Soit P un ensemble de points sur une surface à métrique des croisements \mathcal{S} . On peut calculer le plus court graphe de découpe dont l'ensemble des sommets est exactement P en temps $O(n \log n + gn + |P|)$.

Aparté : il est optimal !

Les lacets A^\perp ne sont pas nécessairement disjoints, ni simples.

Cadre topologique dual :
surface à métrique des croisements.



Trouver le plus court graphe de découpe

NP-dur! [Erickson et Har-Peled, 2004]

Théorème ([CdV, 2010], étendant [Erickson et Whittlesey, 2006])

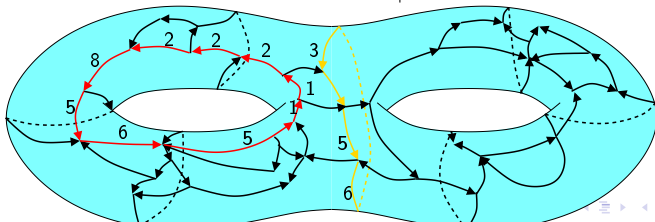
Soit P un ensemble de points sur une surface à métrique des croisements \mathcal{S} . On peut calculer le plus court graphe de découpe dont l'ensemble des sommets est exactement P en temps $O(n \log n + gn + |P|)$.

3. *Plus courtes courbes non triviales, extensions*

Aperçu : plus courtes courbes non triviales

g : genre, k : nombre d'arêtes de la plus courte courbe non triviale.

	non orienté	orienté
pondéré	$O(n^2 \log n)$ [Erickson–Har–Peled'04] $O(g^{3/2} n^{3/2} \log n)$ non-sép } [Cabello–Mohar'07] $g^{O(g)} n^{3/2}$ non-contr } $g^{O(g)} n \log n$ [Kutz'06] $O(g^3 n \log n)$ [Cabello–Chambers'07] $O(g^2 n \log n)$ [Cabello–Chambers–Erickson'12] $g^{O(g)} n \log \log n$ [Italiano et coll.'11]	$O(n^2 \log n)$ [Cab–CdV–Laz'10] $O(g^{1/2} n^{3/2} \log n)$ [Cab–CdV–Laz'10] $2^{O(g)} n \log n$ non-sép [Erickson–Nayyeri'11] $O(g^2 n \log n)$ non-sép } [Erickson'11] $g^{O(g)} n \log n$ non-contr } $O(g^3 n \log n)$ non-contr [Fox'13]
	non pondéré $O(n^3)$ [Thomassen'90] $O(n^2)$ [Cab–CdV–Laz'10] $O(gnk)$ [Cab–CdV–Laz'10] $O(gn)$ pour 2-approx [Erickson–Har–Peled'04] $O(gn/\epsilon)$ pour $(1 + \epsilon)$ -approx [Cab–CdV–Laz'10]	$O(n^2)$ [Cab–CdV–Laz'10] $O(gnk)$ [Cab–CdV–Laz'∞]



Edge-width (ew) : Longueur d'un plus court chemin fermé non trivial.

Théorème [Cabello, CdV, Lazarus, 2010]

Soit G **non pondéré** plongé sur \mathcal{S} . Soit $k \geq 1$. On peut en temps $O(gnk)$:

- calculer $ew(G)$, si $ew(G) \leq k$;
- ou détecter que $ew(G) > k$.

Corollaire

On peut calculer $ew(G)$ en temps $O(gn ew(G))$.

Démonstration

Appliquer le théorème avec $k = 1, 2, 4, 8, \dots, 2^p, \dots$ jusqu'à ce que l'algorithme renvoie $ew(G)$. \square

Edge-width (ew) : Longueur d'un plus court chemin fermé non trivial.

Théorème [Cabello, CdV, Lazarus, 2010]

Soit G **non pondéré** plongé sur \mathcal{S} . Soit $k \geq 1$. On peut en temps $O(gnk)$:

- calculer $ew(G)$, si $ew(G) \leq k$;
- ou détecter que $ew(G) > k$.

Corollaire

On peut calculer $ew(G)$ en temps $O(gn ew(G))$.

Démonstration

Appliquer le théorème avec $k = 1, 2, 4, 8, \dots, 2^p, \dots$ jusqu'à ce que l'algorithme renvoie $ew(G)$. \square

Edge-width (ew) : Longueur d'un plus court chemin fermé non trivial.

Théorème [Cabello, CdV, Lazarus, 2010]

Soit G **non pondéré** plongé sur \mathcal{S} . Soit $k \geq 1$. On peut en temps $O(gnk)$:

- calculer $ew(G)$, si $ew(G) \leq k$;
- ou détecter que $ew(G) > k$.

Corollaire

On peut calculer $ew(G)$ en temps $O(gn ew(G))$.

Démonstration

Appliquer le théorème avec $k = 1, 2, 4, 8, \dots, 2^p, \dots$ jusqu'à ce que l'algorithme renvoie $ew(G)$. \square

Vérifier que $ew(G)$ est plus petit qu'une certaine valeur (et si oui, la calculer) sert de routine de base dans plusieurs algorithmes **linéaires** pour :

- si p est fixé, déterminer si un graphe est dessinable dans le plan avec au plus p croisements [Kawarabayashi, Reed, 2007] ;
- tester l'isomorphisme entre deux graphes de genre $\leq g$ fixé [Kawarabayashi, Mohar, 2009] ;
- calculer certains cycles induits passant par p sommets donnés de G , si G est plongé sur \mathcal{S} fixée [Kobayashi, Kawarabayashi, 2009].

Ces algorithmes utilisaient une 2-approximation du calcul de $ew(G)$.

Aperçu de l'algorithme : Paralléliser !

- Soit $v \in V$ quelconque et soit K l'ensemble des sommets du plus court graphe de découpe basé en v : K est inclus dans l'union de $4g$ plus courts chemins issus de v .
- Tout cycle non contractile passe par un sommet de K .

Algorithme

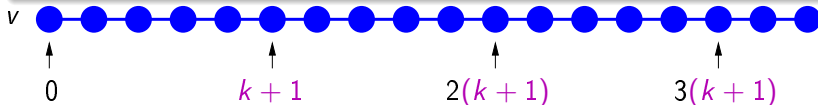
- On regroupe K en $O(gk)$ paquets de sorte que deux sommets distincts dans un paquet soient à distance au moins $k + 1$.
- *Lemme.* Étant donné un paquet P , on peut, en temps $O(n)$, trouver un plus court lacet non contractile basé en un sommet dans P , s'il y en a un de longueur au plus k .

Aperçu de l'algorithme : Paralléliser !

- Soit $v \in V$ quelconque et soit K l'ensemble des sommets du plus court graphe de découpe basé en v : K est inclus dans l'union de $4g$ plus courts chemins issus de v .
- Tout cycle non contractile passe par un sommet de K .

Algorithme

- On regroupe K en $O(gk)$ paquets de sorte que deux sommets distincts dans un paquet soient à distance au moins $k + 1$.
- *Lemme.* Étant donné un paquet P , on peut, en temps $O(n)$, trouver un plus court lacet non contractile basé en un sommet dans P , s'il y en a un de longueur au plus k .

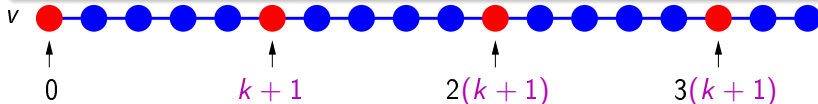


Aperçu de l'algorithme : Paralléliser !

- Soit $v \in V$ quelconque et soit K l'ensemble des sommets du plus court graphe de découpe basé en v : K est inclus dans l'union de $4g$ plus courts chemins issus de v .
- Tout cycle non contractile passe par un sommet de K .

Algorithme

- On regroupe K en $O(gk)$ paquets de sorte que deux sommets distincts dans un paquet soient à distance au moins $k + 1$.
- *Lemme.* Étant donné un paquet P , on peut, en temps $O(n)$, trouver un plus court lacet non contractile basé en un sommet dans P , s'il y en a un de longueur au plus k .

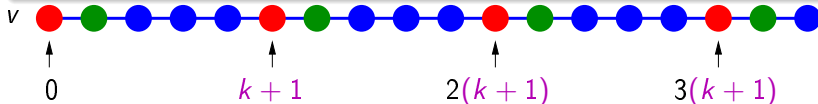


Aperçu de l'algorithme : Paralléliser !

- Soit $v \in V$ quelconque et soit K l'ensemble des sommets du plus court graphe de découpe basé en v : K est inclus dans l'union de $4g$ plus courts chemins issus de v .
- Tout cycle non contractile passe par un sommet de K .

Algorithme

- On regroupe K en $O(gk)$ paquets de sorte que deux sommets distincts dans un paquet soient à distance au moins $k + 1$.
- *Lemme.* Étant donné un paquet P , on peut, en temps $O(n)$, trouver un plus court lacet non contractile basé en un sommet dans P , s'il y en a un de longueur au plus k .

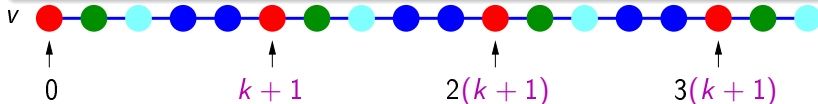


Aperçu de l'algorithme : Paralléliser !

- Soit $v \in V$ quelconque et soit K l'ensemble des sommets du plus court graphe de découpe basé en v : K est inclus dans l'union de $4g$ plus courts chemins issus de v .
- Tout cycle non contractile passe par un sommet de K .

Algorithme

- On regroupe K en $O(gk)$ paquets de sorte que deux sommets distincts dans un paquet soient à distance au moins $k + 1$.
- *Lemme.* Étant donné un paquet P , on peut, en temps $O(n)$, trouver un plus court lacet non contractile basé en un sommet dans P , s'il y en a un de longueur au plus k .

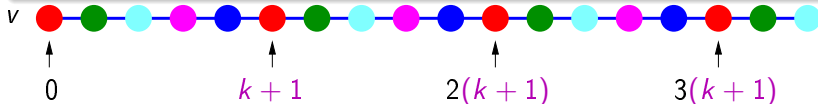


Aperçu de l'algorithme : Paralléliser !

- Soit $v \in V$ quelconque et soit K l'ensemble des sommets du plus court graphe de découpe basé en v : K est inclus dans l'union de $4g$ plus courts chemins issus de v .
- Tout cycle non contractile passe par un sommet de K .

Algorithme

- On regroupe K en $O(gk)$ paquets de sorte que deux sommets distincts dans un paquet soient à distance au moins $k + 1$.
- *Lemme.* Étant donné un paquet P , on peut, en temps $O(n)$, trouver un plus court lacet non contractile basé en un sommet dans P , s'il y en a un de longueur au plus k .

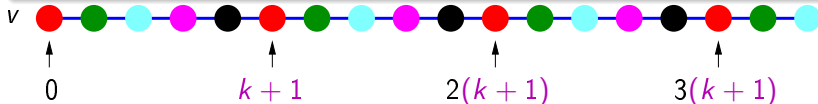


Aperçu de l'algorithme : Paralléliser !

- Soit $v \in V$ quelconque et soit K l'ensemble des sommets du plus court graphe de découpe basé en v : K est inclus dans l'union de $4g$ plus courts chemins issus de v .
- Tout cycle non contractile passe par un sommet de K .

Algorithme

- On regroupe K en $O(gk)$ paquets de sorte que deux sommets distincts dans un paquet soient à distance au moins $k + 1$.
- *Lemme.* Étant donné un paquet P , on peut, en temps $O(n)$, trouver un plus court lacet non contractile basé en un sommet dans P , s'il y en a un de longueur au plus k .

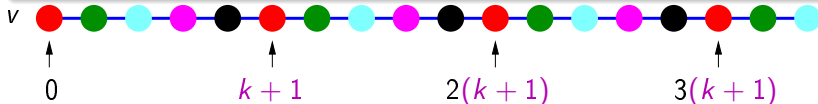


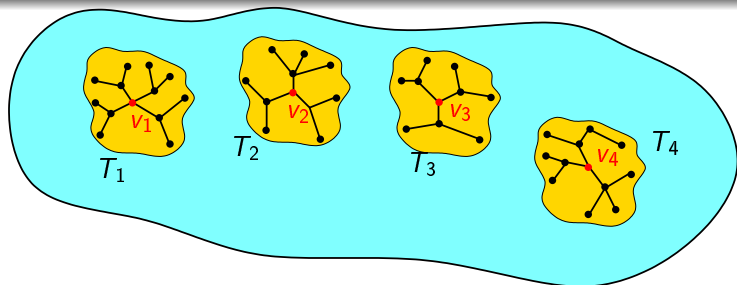
Aperçu de l'algorithme : Paralléliser !

- Soit $v \in V$ quelconque et soit K l'ensemble des sommets du plus court graphe de découpe basé en v : K est inclus dans l'union de $4g$ plus courts chemins issus de v .
- Tout cycle non contractile passe par un sommet de K .

Algorithme

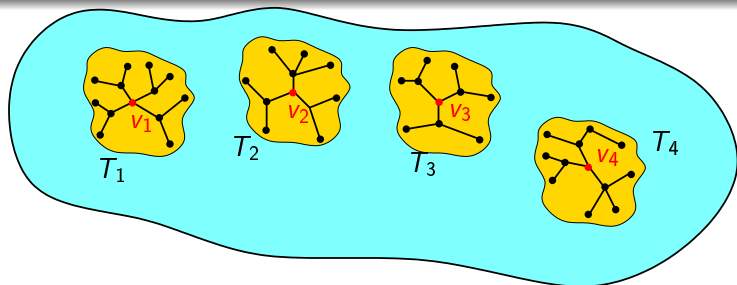
- On regroupe K en $O(gk)$ paquets de sorte que deux sommets distincts dans un paquet soient à distance au moins $k + 1$.
- *Lemme.* Étant donné un paquet P , on peut, en temps $O(n)$, trouver un plus court lacet non contractile basé en un sommet dans P , s'il y en a un de longueur au plus k .





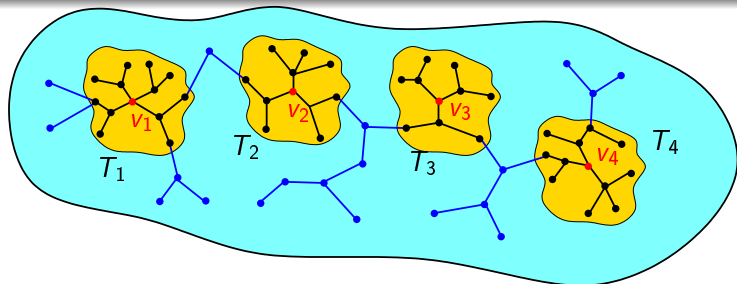
Démonstration du lemme

- Pour $v_i \in P$, calculer un arbre de plus courts chemins T_i de profondeur $\lfloor k/2 \rfloor$ issu de v_i . Les T_i sont disjoints.
- Étendre l'union des T_i en un arbre couvrant T de G .
- S'il existe un plus court lacet non contractile à sommets dans T_i , il croise exactement une arête de $C = (E(G) \setminus T)^*$.
- Un lacet croisant exactement une arête c de C est contractile si et seulement si c sépare C en deux composantes connexes, l'une étant un arbre.



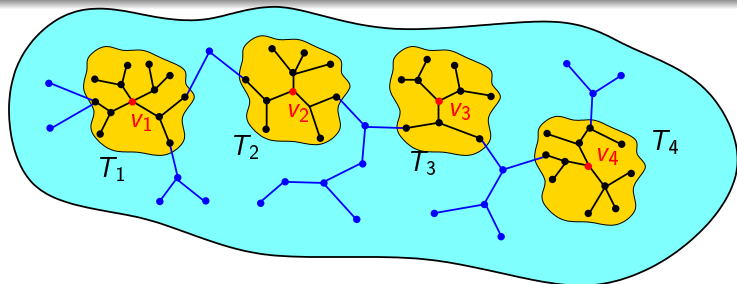
Démonstration du lemme

- Pour $v_i \in P$, calculer un arbre de plus courts chemins T_i de profondeur $\lfloor k/2 \rfloor$ issu de v_i . Les T_i sont disjoints.
- Étendre l'union des T_i en un arbre couvrant T de G .
- S'il existe un plus court lacet non contractile à sommets dans T_i , il croise exactement une arête de $C = (E(G) \setminus T)^*$.
- Un lacet croisant exactement une arête c de C est contractile si et seulement si c sépare C en deux composantes connexes, l'une étant un arbre.



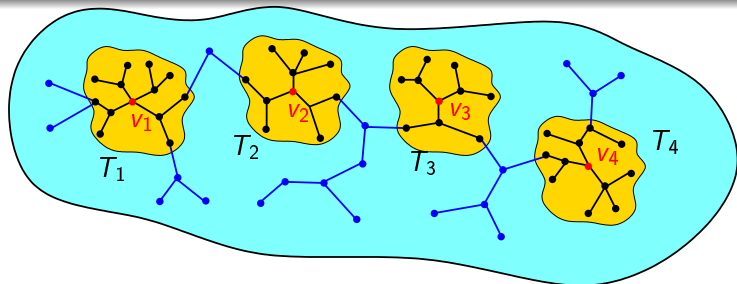
Démonstration du lemme

- Pour $v_i \in P$, calculer un arbre de plus courts chemins T_i de profondeur $\lfloor k/2 \rfloor$ issu de v_i . Les T_i sont disjoints.
- Étendre l'union des T_i en un arbre couvrant T de G .
- S'il existe un plus court lacet non contractile à sommets dans T_i , il croise exactement une arête de $C = (E(G) \setminus T)^*$.
- Un lacet croisant exactement une arête c de C est contractile si et seulement si c sépare C en deux composantes connexes, l'une étant un arbre.



Démonstration du lemme

- Pour $v_i \in P$, calculer un arbre de plus courts chemins T_i de profondeur $\lfloor k/2 \rfloor$ issu de v_i . Les T_i sont disjoints.
- Étendre l'union des T_i en un arbre couvrant T de G .
- S'il existe un plus court lacet non contractile à sommets dans T_i , il croise exactement une arête de $C = (E(G) \setminus T)^*$.
- Un lacet croisant exactement une arête c de C est contractile si et seulement si c sépare C en deux composantes connexes, l'une étant un arbre.



Démonstration du lemme

- Pour $v_i \in P$, calculer un arbre de plus courts chemins T_i de profondeur $\lfloor k/2 \rfloor$ issu de v_i . Les T_i sont disjoints.
- Étendre l'union des T_i en un arbre couvrant T de G .
- S'il existe un plus court lacet non contractile à sommets dans T_i , il croise exactement une arête de $C = (E(G) \setminus T)^*$.
- Un lacet croisant exactement une arête c de C est contractile si et seulement si c sépare C en deux composantes connexes, l'une étant un arbre.

4. Bornes, plus courtes courbes non triviales

[CdV, Hubard, de Mesmay, 2014 (?)]

- M : surface à métrique des croisements trivalente, non pondérée à n sommets
- R : surface riemannienne d'aire a

De M à R : triangles équilatéraux + lissage ($a = \sqrt{3}n/4$)

Courbe non triviale de longueur ℓ sur M
 \Leftrightarrow courbe non triviale de longueur $\Theta(\ell)$ sur R .

De R à M : ε -sample + triangulation de Delaunay ($n = \Theta(a/\varepsilon^2)$)

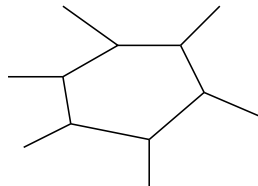
Courbe non triviale de longueur ℓ sur M
 \Leftrightarrow courbe non triviale de longueur $\Theta(\varepsilon\ell)$ sur R .

[CdV, Hubard, de Mesmay, 2014 (?)]

- M : surface à métrique des croisements trivalente, non pondérée à n sommets
- R : surface riemannienne d'aire a

De M à R : triangles équilatéraux + lissage ($a = \sqrt{3}n/4$)

Courbe non triviale de longueur ℓ sur M
 \Leftrightarrow courbe non triviale de longueur $\Theta(\ell)$ sur R .



De R à M : ε -sample + triangulation de Delaunay ($n = \Theta(a/\varepsilon^2)$)

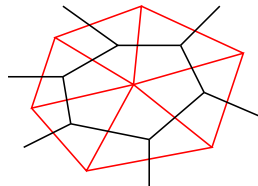
Courbe non triviale de longueur ℓ sur M
 \Leftrightarrow courbe non triviale de longueur $\Theta(\varepsilon\ell)$ sur R .

[CdV, Hubard, de Mesmay, 2014 (?)]

- M : surface à métrique des croisements trivalente, non pondérée à n sommets
- R : surface riemannienne d'aire a

De M à R : triangles équilatéraux + lissage ($a = \sqrt{3}n/4$)

Courbe non triviale de longueur ℓ sur M
 \Leftrightarrow courbe non triviale de longueur $\Theta(\ell)$ sur R .



De R à M : ε -sample + triangulation de Delaunay ($n = \Theta(a/\varepsilon^2)$)

Courbe non triviale de longueur ℓ sur M
 \Leftrightarrow courbe non triviale de longueur $\Theta(\varepsilon\ell)$ sur R .

[CdV, Hubard, de Mesmay, 2014 (?)]

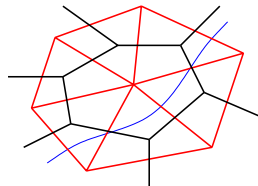
- M : surface à métrique des croisements trivalente, non pondérée à n sommets
- R : surface riemannienne d'aire a

De M à R : triangles équilatéraux + lissage ($a = \sqrt{3}n/4$)

Courbe non triviale de longueur ℓ sur M
 \Leftrightarrow courbe non triviale de longueur $\Theta(\ell)$ sur R .

De R à M : ε -sample + triangulation de Delaunay ($n = \Theta(a/\varepsilon^2)$)

Courbe non triviale de longueur ℓ sur M
 \Leftrightarrow courbe non triviale de longueur $\Theta(\varepsilon\ell)$ sur R .



[CdV, Hubard, de Mesmay, 2014 (?)]

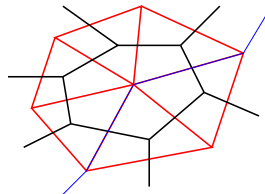
- M : surface à métrique des croisements trivalente, non pondérée à n sommets
- R : surface riemannienne d'aire a

De M à R : triangles équilatéraux + lissage ($a = \sqrt{3}n/4$)

Courbe non triviale de longueur ℓ sur M
 \Leftrightarrow courbe non triviale de longueur $\Theta(\ell)$ sur R .

De R à M : ε -sample + triangulation de Delaunay ($n = \Theta(a/\varepsilon^2)$)

Courbe non triviale de longueur ℓ sur M
 \Leftrightarrow courbe non triviale de longueur $\Theta(\varepsilon\ell)$ sur R .



[CdV, Hubbard, de Mesmay, 2014 (?)]

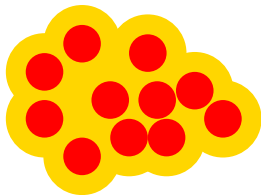
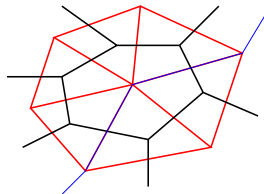
- M : surface à métrique des croisements trivalente, non pondérée à n sommets
- R : surface riemannienne d'aire a

De M à R : triangles équilatéraux + lissage ($a = \sqrt{3}n/4$)

Courbe non triviale de longueur ℓ sur M
 \Leftrightarrow courbe non triviale de longueur $\Theta(\ell)$ sur R .

De R à M : ε -sample + triangulation de Delaunay ($n = \Theta(a/\varepsilon^2)$)

Courbe non triviale de longueur ℓ sur M
 \Leftrightarrow courbe non triviale de longueur $\Theta(\varepsilon\ell)$ sur R .



[CdV, Hubbard, de Mesmay, 2014 (?)]

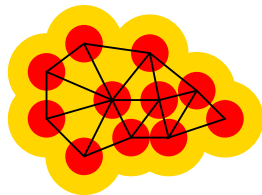
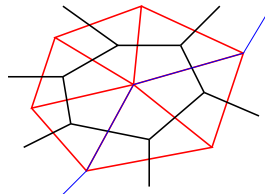
- M : surface à métrique des croisements trivalente, non pondérée à n sommets
- R : surface riemannienne d'aire a

De M à R : triangles équilatéraux + lissage ($a = \sqrt{3}n/4$)

Courbe non triviale de longueur ℓ sur M
 \Leftrightarrow courbe non triviale de longueur $\Theta(\ell)$ sur R .

De R à M : ε -sample + triangulation de Delaunay ($n = \Theta(a/\varepsilon^2)$)

Courbe non triviale de longueur ℓ sur M
 \Leftrightarrow courbe non triviale de longueur $\Theta(\varepsilon\ell)$ sur R .



[CdV, Hubard, de Mesmay, 2014 (?)]

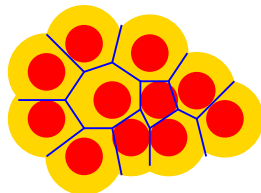
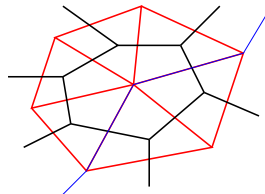
- M : surface à métrique des croisements trivalente, non pondérée à n sommets
- R : surface riemannienne d'aire a

De M à R : triangles équilatéraux + lissage ($a = \sqrt{3}n/4$)

Courbe non triviale de longueur ℓ sur M
 \Leftrightarrow courbe non triviale de longueur $\Theta(\ell)$ sur R .

De R à M : ε -sample + triangulation de Delaunay ($n = \Theta(a/\varepsilon^2)$)

Courbe non triviale de longueur ℓ sur M
 \Leftrightarrow courbe non triviale de longueur $\Theta(\varepsilon\ell)$ sur R .



Résultats de géométrie systolique [Gromov, 1983], [Buser–Sarnak, 1994]

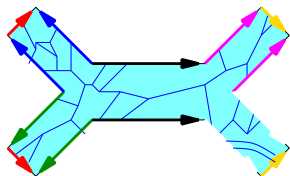
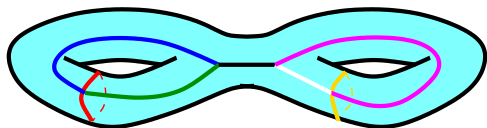
Une plus courte courbe non triviale sur une surface riemannienne R d'aire a est de longueur $O(\sqrt{a/g} \log g)$. Cette borne est optimale.

Corollaire immédiat

Une plus courte courbe non triviale sur une surface à métrique des croisements M non pondérée à n sommets est de longueur $O(\sqrt{n/g} \log g)$. Cette borne est optimale.

Améliore [Hutchinson, 1988], [Przytycka et Przytycki, 1990–1997], ...

5. Bornes, plus court graphe de découpe



Décomposition canonique d'une surface de genre g

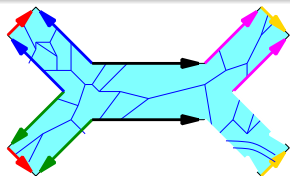
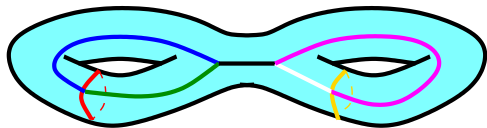
Soit C une **carte combinatoire** d'un graphe de découpe d'une surface de genre g .

On veut décomposer une surface à métrique des croisements \mathcal{S} non pondérée de genre g et de complexité n en plongeant C sur \mathcal{S} . Quelle longueur faut-il ?

- Pas plus de $O(gn)$ [Lazarus, Pocchiola, Vegter, Verroust, 2001].
- On montre « presque » que pour tout choix de C , il faut parfois $\Omega(n^{7/6})$ [CdV, Hubard, de Mesmay, 2014 (?)].

Raffinement de [Guth, Parlier, Young, 2011]

- Pour tout g , soit C_g une carte combinatoire d'un graphe de découpe d'une surface de genre g . On montre qu'une surface à métrique des croisements trivalente, non pondérée, **aléatoire** à n sommets, si elle a genre g , n'a pas de plongement de C_g de longueur $\leq n^{7/6-\epsilon}$.
- Il y a $\sim n^{n/2}$ surfaces à métrique des croisements trivalentes, non pondérées. Elles sont de genre entre 0 et $(n+2)/4$.
- Soit $g \geq 0$; le nombre de surfaces à métrique des croisements trivalentes à n sommets contenant C_g de longueur $\leq L$ est $f_{n,L}(g) \leq 2^{O(n)}(L/g)^{12g}$.



Raffinement de [Guth, Parlier, Young, 2011]

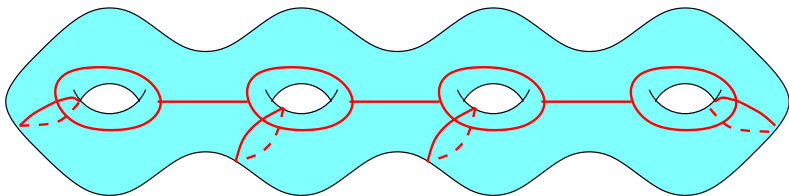
- Pour tout g , soit C_g une carte combinatoire d'un graphe de découpe d'une surface de genre g . On montre qu'une surface à métrique des croisements trivalente, non pondérée, **aléatoire** à n sommets, si elle a genre g , n'a pas de plongement de C_g de longueur $\leq n^{7/6-\varepsilon}$.
- Il y a $\sim n^{n/2}$ surfaces à métrique des croisements trivalentes, non pondérées. Elles sont de genre entre 0 et $(n+2)/4$.
- Soit $g \geq 0$; le nombre de surfaces à métrique des croisements trivalentes à n sommets contenant C_g de longueur $\leq L$ est $f_{n,L}(g) \leq 2^{O(n)}(L/g)^{12g}$.
- Si $L = n^{7/6-\varepsilon}$, alors

$$\sum_{g=0}^{(n+2)/4} f_{n,L}(g) \ll n^{n/2}.$$

Perspectives

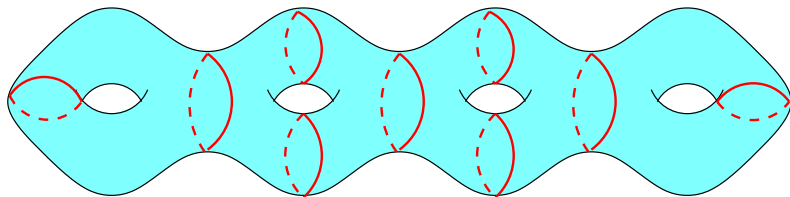
Complexité du calcul de décompositions **les plus courtes**

- **graphe de découpe** sans fixer les sommets :
 - C'est NP-dur, est-ce abordable à g fixé (FPT)? $W[1]$ -dur?
 - Meilleure approximation que [Erickson et Har-Peled, 2004]?
- décompositions en pantalons ?
- découpage en une surface de genre zéro ?



Complexité du calcul de décompositions **les plus courtes**

- graphe de découpe sans fixer les sommets :
 - C'est NP-dur, est-ce abordable à g fixé (FPT)? $W[1]$ -dur?
 - Meilleure approximation que [Erickson et Har-Peled, 2004]?
- **décompositions en pantalons?**
- découpage en une surface de genre zéro?



Complexité du calcul de décompositions **les plus courtes**

- graphe de découpe sans fixer les sommets :
 - C'est NP-dur, est-ce abordable à g fixé (FPT)? $W[1]$ -dur?
 - Meilleure approximation que [Erickson et Har-Peled, 2004]?
- décompositions en pantalons ?
- **découpage en une surface de genre zéro ?**

